

مطالعه توزیع زاویه ای پاره های شکافت القایی حاصل از واکنشهای
یون سنگین بر اساس مدل انقطاع آماری (SSM)
(Statistical Scission Model)

محمد فرهاد رحیمی^۱، داود خداخواه^۱، امید ناصرقدسی^۲، عزیزبیکامی^۳

^۱ گروه فیزیک - دانشکده علوم - دانشگاه فردوسی مشهد

^۲ گروه فیزیک - دانشکده علوم - دانشگاه مازندران

^۳ گروه فیزیک - دانشکده علوم - دانشگاه شیراز

(دریافت: ۸۲/۱۰/۲؛ پذیرش: ۸۳/۳/۲۰)

چکیده

در مطالعه عمیق روی توزیع زاویه ای پاره های شکافت در واکنش یون سنگین ناهمسانگردی های زیادی دیده شده است. این ناهمسانگردی ها را می توان توسط نظریه استاندارد آماری (TSM) (Transition Statistical State Model) توضیح داد (Rossner, 1986). علت وجود این ناهمسانگردی ها را می توان به مقادیر اسپین بالا یا Z^2/A هسته شکافت پذیر نسبت داد. برای ناهمسانگردی های بیشتر می توان از مدل آماری انقطاع (SSM) استفاده کرد. در این مدل توزیع تصویر اسپین در امتداد راستای شکافت می تواند گوسی شکل و با واریانس S_0^2 باشد. در این مدل S_0^2 بدست آمده از تئوریهای وابسته به SSM با S_0^2 های بدست آمده از برآزش داده های تجربی به ازای پارامترهای چگالی تراز مختلف LDP و انرژیهای تغییر شکل مختلف با هم مقایسه شده اند. در این تحقیق از مدل SSM برای مطالعه توزیع زاویه ای پاره های شکافت القایی حاصل از واکنشهای $^{10}B(64Mev)+^{237}Np$ ، $^{10}B(60Mev)+^{232}Th$ ، $^{12}C(72Mev)+^{237}Np$ ، $^{12}C(79Mev)+^{232}Th$ و $^{16}O(88Mev)+^{232}Th$ ، $^{16}O(94Mev)+^{237}Np$ استفاده شده و نتیجه گیری شده است که مدل SSM در مورد این واکنشها کارآیی خوبی دارد. همچنین با استفاده از این مدل نسبت ممان اینرسی کروی به ممان اینرسی مؤثر محاسبه شده اند که توافق خوبی با مقادیر بدست آمده از مدل قطره مایع دارند و این نشان می دهد که مدل SSM یک مدل فیزیکی است.

واژه های کلیدی: مدل انقطاع آماری، توزیع زاویه ای پاره های شکافت القایی، یون سنگین،

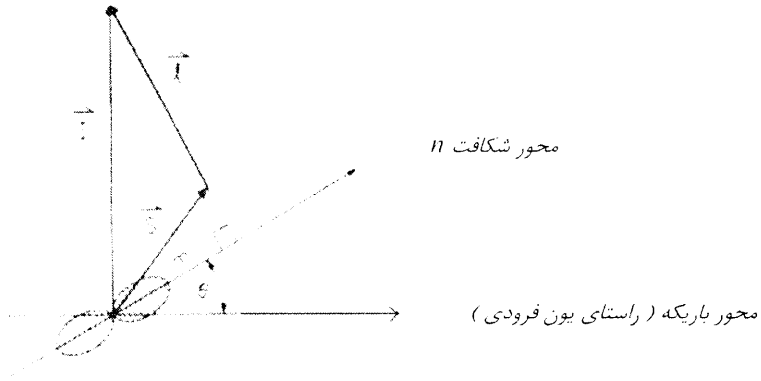
پارامتر قطع اسپین، پارامتر چگالی تراز.

مقدمه

مطالعه توزیع زاویه ای پاره های شکافت القایی در واکنشهای هسته‌ای موضوع بسیار جالبی است. چندین مدل برای این موضوع ارائه شده است. دو مدل معروف عبارتند از: ۱- مدل حالت گذار آماری TSM (Transition Statistical State Model) ۲- مدل انقطاع آماری SSM. مدل حالت گذار آماری TSM، که اولین بار توسط (Bohr, 1956) ارائه گردید، در مطالعه توزیع زاویه‌ای پاره‌های شکافت حاصل از یونهای سبک با مقادیر اسپین پایین و انرژی برانگیختگی متوسط کاربرد خوبی دارد اما در واکنشهای یون سنگین ناتوان است. به همین دلیل (Ericson, 1960) مدل انقطاع آماری SSM را برای مطالعه توزیع زاویه‌ای پاره‌های شکافت القایی حاصل از یونهای سنگین پیشنهاد کرد (Ericson, 1960). در این مدل فرض می‌شود که سد شکافت خیلی کوچک بوده و اندازه حرکت زاویه‌ای و انرژی برانگیختگی هسته مرکب خیلی بزرگ باشد (Rossner, 1986). از مدل SSM برای واکنشهای القایی یون سنگین که در آن ارتفاع سد شکافت صفر و یا خیلی کوچکتر از دمای هسته‌ای متناظر است استفاده می‌شود. در این مدل برای تعیین توزیع زاویه ای پاره‌های شکافت از تقریب‌های فیزیکی استفاده می‌شود که ریشه در نظریه‌های آماری دارد. و بر این اساس یک پیش بینی قطعی از توزیع زاویه‌ای پاره‌های شکافت ارائه می‌دهد و چگالی ترازهای حالت گذار را که منجر به آن ساختار شده اند بدست می‌دهد. هر چند معادلاتی که در دو مدل استفاده می‌شوند از نظر شکل ریاضی مشابه هم هستند اما واریانسهای توزیع تصویرهای اندازه حرکت زاویه‌ای در دو مدل به شیوه کاملاً متفاوتی محاسبه می‌شوند.

فرمولبندی مدل انقطاع آماری SSM :

ابتدا شکل (۱) را در نظر می‌گیریم که در آن اسپین S برابر با جمع اسپین‌های پاره‌های شکافت است. l اندازه حرکت زاویه‌ای مداری کانال خروجی است. I اسپین کل هسته مرکب و $\vec{s} = \vec{l} + \vec{I}$ می‌باشد. m تصویر I روی محور تقارن یا محور شکافت است. در اینجا فرض می‌شود که تصویر I روی محور باریکه تقریباً صفر است ($M \approx 0$).



شکل ۱- نمایش ارتباط بین I ، ℓ ، S و m در مدل SSM (Rossner, 1984)

براساس مدل SSM، توزیع زاویه ای پاره های شکافت که در جهت \hat{n} تحت زاویه θ نسبت به راستای باریکه فرودی گسیل می شوند را با $W(\theta)$ نشان می دهند. وقتی اسپینهای پرتابه و هدف صفر هستند مقدار آن از رابطه زیر داده می شود (Huizenga, 1973) و (Rossner, 1986).

$$W(\theta) \propto \frac{\sum_{m=-l}^l (2I+1) \left| D_{M=0,m}^I(\theta) \right|^2 \exp(-m^2 / 2S_0^2)}{\sum_{m=-l}^l \exp(-m^2 / 2S_0^2)} \quad (1)$$

که در آن :

$$D_{M=0,m}^I(\theta) = \left\{ (I+M)!(I-M)!(I+m)!(I-m)! \right\}^{1/2} \frac{\sum_x (-1)^x [\text{Sin}(\theta/2)]^{m-M+2x} [\text{Cos}(\theta/2)]^{2I-m+M-2x}}{(I-m-x)!(I+M-x)!(x+m-M)!x!} \quad (2)$$

در رابطه فوق $x=1,2,3,\dots$ گرفته می شود و مقادیری از x جایگزین می شود که مخرج کسر را منفی نکند. در این رابطه S_0^2 واریانس توزیع تصویر اسپین کل I روی محور شکافت است. T_l ضرایب گذار برای کانال ورودی می باشند (Vondenbosh, 1973). که با استفاده از تقریب

مقدار S_0^2 به یکی از دو صورت زیر داده می‌شود (Rossner, 1986):

$$S^2 = \begin{cases} 2\sigma^2 \frac{[2\sigma^2 + (\mu R_c^2 T / h^2)]}{(\mu R_c^2 T / h^2)} \\ (2I_0 T / h^2) [(2I_0 + \mu R_c^2) / \mu R_c^2] \end{cases} \quad (3)$$

که در آن پارامتر قطع اسپین به صورت زیر است:

$$\sigma^2 = I_0 T / h^2 = \frac{2}{5} m R_c^2 T / h^2 \quad (4)$$

کمیت‌های I_0 ، T ، m ، R_c و μ به ترتیب ممان اینرسی، دمای هسته‌ای، جرم، شعاع یکی از پاره‌های شکافت کروی و جرم کاهش یافته می‌باشند. R_c فاصله بین مراکز پاره‌های شکافت در بیکربندی نقطه انقطاع می‌باشد و از رابطه زیر به دست می‌آید (Behkami, 1998):

$$R_c = r_0 (A_1^{1/3} + A_2^{1/3}) \left(\frac{a}{b}\right)^{2/3} \quad (5)$$

A_1 و A_2 عدد جرمی پاره‌های شکافت b و a به ترتیب نیم محورهای بزرگ و کوچک یکی از پاره‌های شکافت می‌باشند. در این تحقیق پاره‌های شکافت تغییر شکل یافته، غیرکروی در نظر گرفته شده‌اند. برای پاره‌های شکافت تغییر شکل یافته واریانس S_0^2 از یکی از روابط زیر بدست می‌آید که از رابطه دوم استفاده شده است (Rossner, 1986):

$$S_0^2 = \begin{cases} 2\sigma_{11}^2 \frac{2\sigma_{\perp}^2 + (T\mu R_c^2 / h^2)}{[(T\mu R_c^2 / h^2) + 2\sigma_{\perp}^2 - 2\sigma_{11}^2]} \\ 2I_{11} T / h^2 [(2I_{\perp} + \mu R_c^2) / (\mu R_c^2 + 2I_{\perp} - 2I_{11})] \end{cases} \quad (6)$$

در این رابطه σ_{\perp}^2 ، σ_{\parallel}^2 ، I_{\perp} و I_{\parallel} پارامترهای Spin cut-off، ممان اینرسیهای یکی از فراگمانهای شکافت در دوران حول محورهای موازی محور تقارن و عمود بر محور تقارن می‌باشند. مقادیر I_{\perp} و I_{\parallel} از روابط زیر بدست می‌آیند، که در آن A عدد جرمی هسته مرکب است (Bond, 1985):

$$\begin{cases} \sum I_{\parallel} = 2I_{\parallel} = \frac{2}{5} Ab^2 \\ \sum I_{\perp} = 2I_{\perp} = \frac{1}{5} A(a^2 + b^2) \end{cases} \quad (7)$$

دمای هسته ای T در پیکر بندی انقطاع از رابطه زیر به دست می آید (Bond, 1985):

$$T = \sqrt{\frac{E^*}{LDP}} \quad (8)$$

E^* انرژی بر انگیزندگی در انقطاع می باشد و LDP پارامتر چگالی تراز هسته ای است که برابر یکی از مقادیر زیر انتخاب میشود (Rossner, 1986):

$$LDP = \frac{A}{4}, \frac{A}{5}, \frac{A}{6}, \dots, \frac{A}{20}$$

$$E^* = E_{c.m} + Q - (E_k + E_D + \langle E_{rot} \rangle) \quad (9)$$

E_D انرژی تغییر شکل هسته است و ما آنرا برابر ۱۰،۰۰ و ۲۰ در نظر گرفته ایم تا مقدار بهینه S_0^2 را از برازش داده های تجربی بدست آوریم E_k انرژی جنبشی پاره های شکافت در حین انقطاع می باشد و از رابطه زیر تخمین زده می شود (Behkami, 1988):

$$E_k (\text{Mev}) = 0.107 \left(\frac{Z^2}{A^{1/3}} \right) + 22 \quad (10)$$

Z عدد اتمی هسته مرکب است و $\langle E_{rot} \rangle$ از رابطه زیر به دست می آید:

$$\langle E_{rot} \rangle = \frac{\hbar^2}{2\mu R_c^2} \langle \ell^2 \rangle \quad (11)$$

که در آن:

$$\langle \ell^2 \rangle = \frac{\sum_{\ell=0}^{\ell_{\max}} (2\ell+1)\ell^2}{\sum_{\ell=0}^{\ell_{\max}} (2\ell+1)} \quad (12)$$

مقادیر I_{\max} در جدول ۱ آمده است. چون شکافت متقارن و غیر کروی است لذا توزیع $\frac{W(\theta)}{W(90)}$ حول $\theta = 0$ متقارن است. برای محاسبه $\frac{\varphi_{sph}}{\varphi_{eff}}$ از روابط زیر استفاده میکنیم (Rossner, 1986).

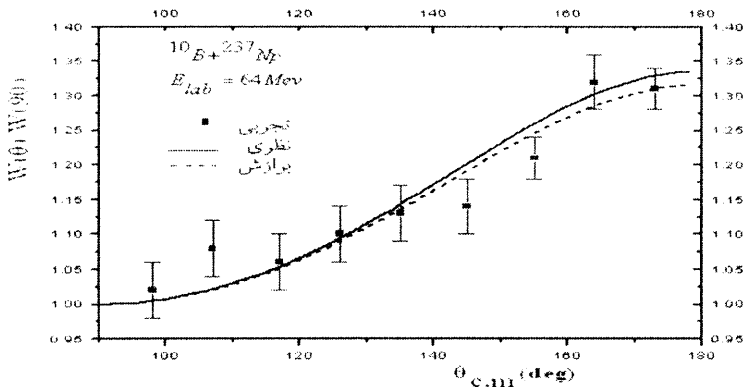
$$\alpha = \left(\frac{\varphi_{sph}}{\varphi_{eff}} \right)_{\text{exp}}$$

$$\varphi_{sph} = \frac{2}{5} mR^2 \quad (13)$$

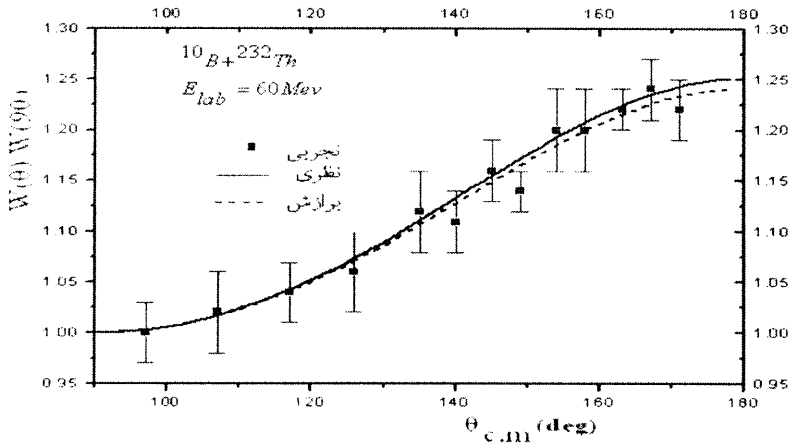
$$\frac{1}{\varphi_{eff}} = \frac{1}{\varphi_{\parallel}} + \frac{1}{\varphi_{\perp}}$$

نتایج :

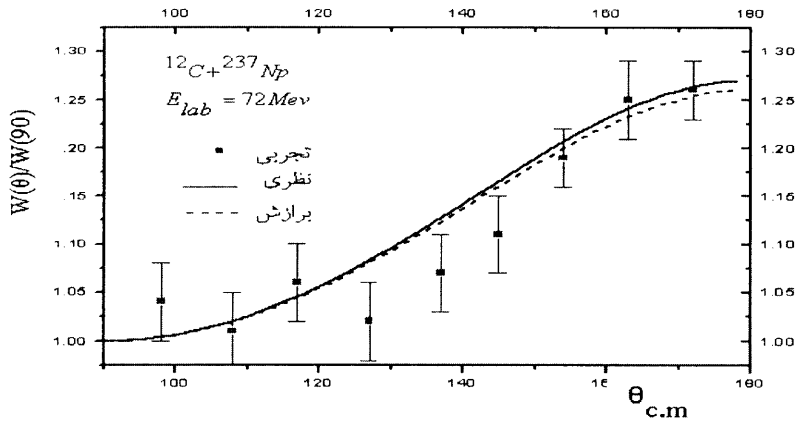
در شکل های زیر منحنیهای توزیع زاویه ای پاره های شکافت مربوط به واکنشهای $^{10}B(60\text{Mev})+^{232}Th$ ، $^{10}B(64\text{Mev})+^{237}Np$ ، $^{12}C(72\text{Mev})+^{237}Np$ ، $^{12}C(79\text{Mev})+^{232}Th$ و $^{16}O(88\text{Mev})+^{232}Th$ که براساس مدل SSM بدست آمده اند، داده شده اند.



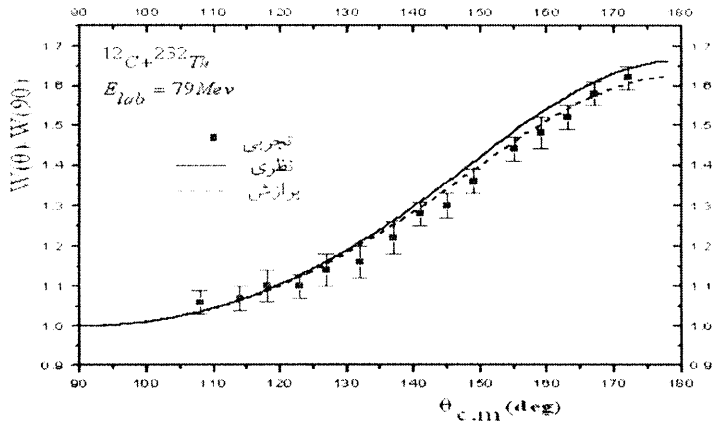
شکل ۲- ناهمسانگردیهای توزیع زاویه ای فراگمان های شکافت در واکنش $^{237}Np(^{10}B, f)$ مقادیر تجربی از (Ramamurthy, 1990).



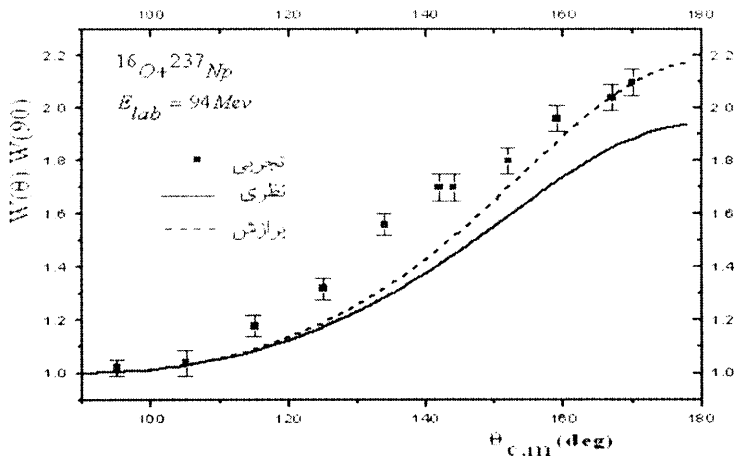
شکل ۳- ناهمسانگردی های توزیع زاویه ای فراگمانهای شکافت در واکنش $^{232}Th(^{10}B, f)$ مقادیر تجربی از (Ramamurthy, 1990).



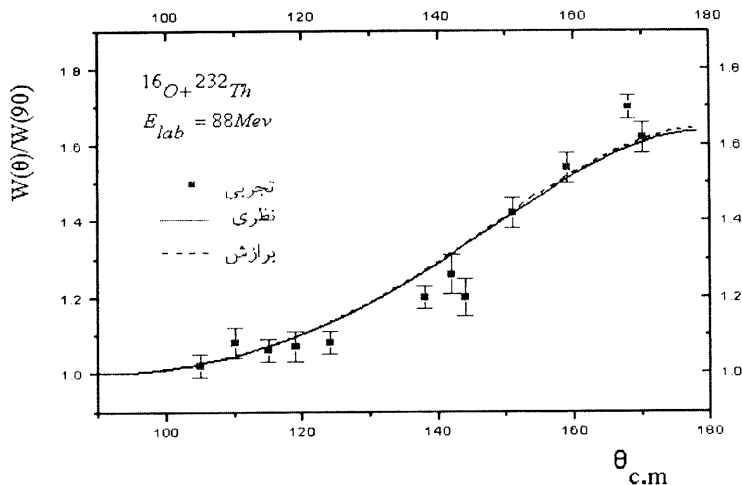
شکل ۴- ناهمسانگردی های توزیع زاویه ای فراگمانهای شکافت در واکنش $^{237}Np(^{12}C, f)$ مقادیر تجربی از (Ramamurthy, 1990).



شکل ۵- ناهمسانگردی‌های توزیع زاویه ای فراگمانهای شکافت در واکنش $^{232}\text{Th}(^{12}\text{C}, f)$ مقادیر تجربی از (Ramamurthy, 1990).



شکل ۶- ناهمسانگردی‌های توزیع زاویه ای فراگمانهای شکافت در واکنش $^{237}\text{Np}(^{16}\text{O}, f)$ مقادیر تجربی از (Ramamurthy, 1990).



شکل ۷- ناهمسانگردی های توزیع زاویه ای فراگمانهای شکافت در واکنش $^{232}\text{Th}(^{16}\text{O}, f)$ مقادیر تجربی از (Ramamurthy, 1990).

جدول ۱- برخی از نتایج محاسبات نظری و تجربی در واکنشهای مورد بررسی

شماره	واکنش	$W(180)/W(90)$	$E^*(\text{MeV})$	l_{max}	S_o^2	$I_{\text{sph}}/I_{\text{eff}}$	α
۱	$^{10}\text{B}+^{232}\text{Th}$	۱٫۲۵	۱۰۰	۱۹	۲٫۷	۰٫۹	۰٫۹۱۷
۲	$^{12}\text{C}+^{232}\text{Th}$	۱٫۶۶۵	۹۸	۳۱	۲٫۶	۰٫۹۲	۰٫۹۰۲
۳	$^{16}\text{O}+^{232}\text{Th}$	۱٫۶۲۷	۸۰	۱۹	۸۴	۰٫۹۴	۰٫۸۷۱
۴	$^{16}\text{O}+^{232}\text{Th}$	۳٫۴۴	۱۳۵	۷۰	۲۴۴	۰٫۹۴	۰٫۸۷۱
۵	$^{10}\text{B}+^{232}\text{Np}$	۱٫۳۴	۹۷	۲۲	۲٫۷	۰٫۹۳	۰٫۹۱۷
۶	$^{12}\text{C}+^{232}\text{Np}$	۱٫۲۶	۹۲	۱۸	۱۸۱	۰٫۹۵	۰٫۹۰۴
۷	$^{16}\text{O}+^{232}\text{Np}$	۱٫۹۴	۸۷	۲۴	۸۹	۰٫۹۶	۰٫۸۷۴

جدول ۲- محاسبه S_0^2 تئوری و سایر پارامترهای هسته ای در واکنشهای مختلف

Reaction	$^{10}\text{B}, ^{232}\text{Th}$	$^{12}\text{C}, ^{232}\text{Th}$	$^{16}\text{O}, ^{232}\text{Th}$	$^{16}\text{O}, ^{237}\text{Th}$	$^{10}\text{B}, ^{237}\text{Np}$	$^{12}\text{C}, ^{237}\text{Np}$	$^{16}\text{O}, ^{237}\text{Np}$
LDP	A/20	A/20	A/16	A/20	A/20	A/4	A/4
E_k (Mev)	185.78	176.96	188.7	179.81	185.563	194.58	185.56
a(fm)	8.3	8.18	8.35	8.23	8.32	8.44	8.32
b(fm)	5.23	5.21	5.23	5.22	5.24	5.25	5.23
E_{rot} (Mev)	.206	.167	.16	.62	2.6	.3	.23
Ed	0	0	0	0	0	0	0
	10	10	10	10	10	10	10
	20	20	20	20	20	20	20
R_c (fm)	16.61	16.36	16.7	16.45	16.63	16.87	16.63
E^* (Mev)	97.02	99.88	91.61	97.88	135.187	107	89
E_{cm} (Mev)	61.4	57.22	68.53	75.22	131	88.06	82.32
T	2.8	2.87	2.14	2.83	3.3	1.3	1.2
Q(Mev)	221.19	219.16	211.61	201.947	192.4	213.19	192.39
$2I_1$ (gr-cm ²)	449×10^{47}	756×10^{47}	803×10^{47}	769×10^{47}	795×10^{47}	83×10^{47}	795×10^{47}
E_{tab} (Mev)	64	60	72	79	140	94	88
S_0^2 (the)	206.67	207.15	180.65	206.23	145.11	98.73	88.9
S_0 (The)	14.38	14.36	13.44	14.36	15.65	9.94	9.43
	14	14.02	13.06	13.98	15.36	9.7	9.15
	13.56	13.61	12.64	13.56	15.04	9.43	8.85
S_0^2 (exp)	219.04	216.09	184.96	219.04	400	70.56	82.81
S_0 (exp)	14.8	14.7	13.6	14.8	20	8.4	9.1

با توجه به شکل‌های بالا، در واکنشهای $^{10}\text{B}(60\text{Mev}) + ^{232}\text{Th}$ ، $^{10}\text{B}(64\text{Mev}) + ^{237}\text{Np}$ ، $^{12}\text{C}(72\text{Mev}) + ^{237}\text{Np}$ و $^{12}\text{C}(79\text{Mev}) + ^{232}\text{Th}$ ، مطابقاً، $^{16}\text{O}(88\text{Mev}) + ^{232}\text{Th}$ بین تئوری SSM و داده‌های تجربی بسیار نزدیک می‌باشند، اما در واکنش

$^{16}O(94\text{Mev}) + ^{237}\text{Np}$ توافق بین نتایج حاصل از مدل تئوری و داده‌های تجربی کمی ضعیف است که این می‌تواند دلیل بر وجود پدیده شکافت از درجه دوم (second chance Fission) باشد (Vondenbosh, 1973).

در پایان اشاره می‌کنیم که مقادیر محاسبه شده $\frac{I_{sph}}{I_{eff}}$ با نتایج مربوط به مدل قطره

مایع (Liquid Drop Model) مطابقت خوبی را نشان می‌دهند که این خود تائید بر فیزیکی بودن مدل آماری SSM می‌باشد.

References

- Behkami, A.N., Nazarzadeh, P. (1998) *Fission Fragment Angular Anisotropies and Inertia Parameters*, J.Sci.I.R.Iran, **9**, No.2.
- Bohr, A. (1956) Proceedings of the U.N. International Conference on the peaceful uses of Atomic Energy, united Nations report, **2**, 151-911.
- Bond, P.D.(1985) *Fission-Fragment Angular Distributions*, Phys. Rev. Lett., **5**, 414 – 416.
- Datta, T, Dange, S.P., Naik, H., Manohar, S.B. (1993) *Angular Distribution in Alpha-Induced Fission of ^{232}Th and ^{238}U* , Phys.Rev.C., **48(1)**, 221-230.
- Ericson, T., (1960) *Fission Fragment Distribution*, Adv. Phys., **9**, 425-431.
- Huizenga, J.R., Behkami, A.N., Meadows, J.W., Klema, E.D. (1968) *Nuclear Pairing Energy of Transition Nucleus $\text{Pu}240$* , Phys. Rev., **174**, 1539-1544.
- Ramamurthy V.S., Kapoor S.S. (1985) *Interpretation of Fission-Fragment Angular Distributions in Heavy-Ion Fusion Reactions*, Phys.Rev.Lett., **54**, 178-181.
- Ramamurthy, V.S. (1990) *Entrance-Channel Dependence of Fission-fragment Anisotropies*, phys.Rev. Letters, **65**, 25-28.
- Rossner H., Huizenga J.R. (1986) *Fission Fragment Angular Distributions*, Phys.Rev., **C33**, 560-576.

Vandenboch R., Huizenga J.R., (1973) Nuclear Fission, Academic Press, New York and London.

Vaz L.C, Alexander J.M., (1983) Reassessment of Fission Fragment Angular.

Distributions From Continuum States in the Context of Transition-State Theory, Phys.Rep., **97**, No.1, 1-30.

Viola, V.E., (1985) Fission fragment Angular Distributions for Symmetric Fission Phys. Rev.c., **31**, 1550-1556.

Zhaao Y., (1999) Symmetric and Asymmetric scission properties (Identical shape Elongation of fissioning Nuclei) phys.Rev., **82**, NO.17, 34-40.